



مجله علوم و صنایع غذایی ایران

سایت مجله: www.fsct.modares.ac.ir

مقاله علمی-پژوهشی

ارزیابی فعالیت ضدبacterیایی و ویژگی‌های نانوالیاف ژلاتین حاوی اسانس اسطوخودوس

احسان صادقی حمزه‌خانی^۱، محمد علی نجفی^{۲*}، محمد امین میری^۳، سارا نجفی قائلستانی^۴

۱- دانشآموخته کارشناسی ارشد علوم و صنایع غذایی، دانشکده کشاورزی، دانشگاه زابل، ایران.

۲- دانشیار گروه علوم و صنایع غذایی، دانشکده کشاورزی، دانشگاه زابل، ایران.

۳- استادیار گروه علوم و صنایع غذایی، دانشکده کشاورزی، دانشگاه زابل، ایران.

۴- دانشآموخته دکتری گروه زراعت و اصلاح نباتات، دانشگاه زابل، زابل، ایران

چکیده

اطلاعات مقاله

تاریخ های مقاله :

تاریخ دریافت: ۱۴۰۲/۴/۳

تاریخ پذیرش: ۱۴۰۲/۷/۲۷

کلمات کلیدی:

اسانس،

الیاف الکتروریسی شده،

زیست بسپار،

فعالیت ضدبacterیایی

چکیده: اسانس گیاه اسطوخودوس کاربردهای گسترده‌ای در صنایع آرایشی، غذایی و دارویی دارد. در این پژوهش برای نخستین بار، ریزپوشانی اسانس اسطوخودوس توسط زیست بسپار ژلاتین به روش الکتروریسی انجام شد. در ابتدا ترکیبات شیمیایی اسانس اسطوخودوس به کمک گازکروماتوگرافی متصل به طیف سنج جرمی (GC-MS) شناسایی و سپس در غلظت-های صفر، ۲/۵، ۵/۰ و ۷/۰٪ به محلول الکتروریسی اضافه گردید. نانوالیاف تهیه شده با استفاده از آزمون‌های تصویربرداری الکترونی روپشی (SEM)، تعیین ضخامت (J)، پراش اشعه ایکس، خواص مکانیکی و راندمان بارگذاری اسانس مورد بررسی قرار گرفتند. همچنین خواص ضدبacterیایی نانوالیاف در برابر باکتری‌های *Staphylococcus aureus*، *Escherichia coli*، *Bacillus cereus* بررسی گردیدند. مهمترین ترکیبات اسانس اسطوخودوس اجزاء لینالول (۳۵/۲۱ درصد) و لینالیل استات (۲۶/۴۷ درصد) بودند. تمامی نانوالیاف دارای شکل یکنواخت و پیوسته بودند. با افزایش غلظت اسانس در محلول الکتروریسی ضخامت (nm) ۴۳۱/۵ - ۷۰۵/۳ و محتویات اسانس (۶/۱۴٪ - ۷/۱۴٪) نانوالیاف افزایش یافت. اسانس اسطوخودوس تاثیری بر ایجاد ساختار کریستالی در نانوالیاف نداشت، اما باعث کاهش شدید مقادیر مدول یانگ و سختی گردید. نمونه نانوالیاف حاوی ۱۰٪ اسانس اسطوخودوس بیشترین سختی، مدول یانگ و کشش پذیری ثبت نمود. ارزیابی فعالیت ضدبacterیایی نشان داد نمونه‌های نانوالیاف حاوی اسانس دارای فعالیت ضدبacterیایی در برابر تمامی باکتری‌های هدف بودند. بیشترین تاثیرگذاری توسط نانوالیاف ژلاتین + اسانس (۱۰٪) در برابر *S. aureus* و *B. cereus* بدست آمد. با توجه به نتایج پژوهش حاضر احتمالاً بتوان نانوالیاف ژلاتین حاوی اسانس اسطوخودوس را جهت بسته‌بندی فعال مواد غذایی بکاربرد. بیان نتیجه قطعی مستلزم انجام آزمایشات بالینی و در محیط واقعی است.

DOI: 10.22034/FSCT.21.146.82

*مسئول مکاتبات:

m.najafi413@uoz.ac.ir

۱- مقدمه

اثرگذاری آنها در محصولات آب دوست می‌شود. روش الکترورسی به دلیل هزینه‌های پایین تولید، سهولت، انعطاف‌پذیری و قابلیت تولید الیاف با ضخامت 10 nm ۱۰۰۰ مورد توجه است. این تکنیک برپایه کشش محلول پلیمری (ستزی یا طبیعی) تحت نیروی الکتریکی استوار است که منجر به تولید الیاف بسیار نازک در مقیاس نانو می‌گردد [۷].^۸

ژلاتین پلیمر زیست تخریب پذیر، زیست سازگار و خوراکی است که از هیدرولیز کلائز بدست می‌آید. از مهمترین کاربردهای ژلاتین می‌توان در صنایع غذایی، مهندسی بافت و نیز به عنوان حامل ترکیبات فعال اشاره نمود [۵، ۹]. در سال‌های اخیر، مطالعات متعددی بر تولید الیاف الکترورسی ژلاتین حاوی انسانس و یا مشتقات آنها انجام شده است. تولید ریزپوشینه‌های انسانس گلپر [۵]، سینامالدئید، لیمونن (LEO)، اوژنول [۹] و سزامول در الیاف ژلاتین [۱۰] از آن جمله هستند. نتایج نشان داده خواص مکانیکی و ضدیکروبی نانوالیاف به نوع و غلظت انسانس، نوع پلیمر و روش تهیه بستگی دارد.

هدف از مطالعه حاضر تولید نانوالیاف خوراکی جدید با خواص کترل کنندگی رشد باکتری‌های مولد فساد غذایی است. بر همین اساس از زیست بسپار ژلاتین و انسانس اسطوخودوس استفاده گردید. در این پژوهش پس از شناسایی ترکیبات شیمیایی انسانس اسطوخودوس با استفاده از گاز کروماتوگرافی مجهز به طیف سنج جرمی (GC-MS)، برای نخستین بار نانوالیاف ژلاتین حاوی انسانس اسطوخودوس تولید و سپس خواص ضدباکتریایی و مهمترین ویژگی‌های آن مورد بررسی قرار گرفت.

۲- مواد ورث‌ها

۲-۱- مواد اولیه

ژلاتین خوراکی (Gel-Tec Type A, 200 Bloom) از شرکت Gel-Tec (ساخت کره جنوبی)، اسید استیک گلاسیال ۹۹ درصد خلوص، دی متیل سولفوکسید (99 درصد) و n - هگزان از Bristol شرکت مرک (ساخت آلمان) تهیه شدند. باکتری‌های

میکروب‌های بیماری‌زا با منشا غذایی سهم مهمی در ابتلا افراد به انواع بیماری‌های عفونی و مسمومیت غذایی دارند. بر اساس آمار سازمان بهداشت جهانی، مرگ و میر ناشی از ابتلا ۴۲۰۰۰ نفر گزارش شده که علاوه بر آن خسارات اقتصادی هنگفتی را تحمل می‌نماید [۱]. از مهم‌ترین باکتری‌های بیماری‌زا با منشا غذایی می‌توان به استافیلکوکوکس اورئوس، لیستریا مونوسیتئوزنر، باسیلوس سرئوس، اشتریشیا کلی، سودوموناس آئروژنر و سالمونلا تیفی موریوم اشاره نمود [۲]. افزودن نگهدارنده‌های شیمیایی از جمله رایجترین راه‌های کترل فساد مواد غذایی است که به دلیل اثرات نامطلوب آن بر سلامت انسان و پیدایش سویه‌های مقاوم نگرانی‌های فزاینده‌ای را ایجاد کرده است. به همین دلیل امروزه نگهدارنده‌های طبیعی به دلیل ماندگاری، خواص ضدیکروبی و عوارض جانبی اندک از سوی تولید کنندگان و مصرف کنندگان مواد غذایی مورد توجه قرار گرفته‌اند [۳]. انسان‌ها ترکیبات حاصل از متابولیت ثانویه گیاهان هستند و عموماً به عنوان طعم‌دهنده در تهیه غذاهای مختلف استفاده می‌شوند. مطالعات متعدد اثرات ضدیکروبی، ضد انگلی، آنتی‌اکسیدانی و حشره‌کشی انسانس-ها را تائید نموده است [۴، ۵]. اسطوخودوس از جمله گیاهان دارویی متعلق به خانواده لامیناسه است که به عنوان یک گیاه زیستی در بسیاری از کشورهای مناطق اروپایی، شمال آفریقا، جنوب غربی آسیا، همچنین هند، ایران، و چین کشت می‌شود [۴]. انسانس اسطوخودوس با عطر مطلوب آن شناخته شده و به طور گسترده در صنایع عطرسازی، لوازم آرایشی و نیز به عنوان طعم‌دهنده کاربرد دارد. گزارش شده انسانس اسطوخودوس دارای اثرات آرام بخشی، ضدافسردگی، ضد-التهابی، آنتی‌اکسیدانی و ضدیکروبی در برابر بسیاری از گونه‌های قارچی و باکتری‌های مقاوم به آنتی‌بیوتیک‌ها است [۴، ۶].

با این حال، به دلیل اثر گذاری انسانس‌ها بر طعم مواد غذایی، افزودن مستقیم آنها با محدودیت روبرو است. از سوی دیگر انسانس‌ها دارای ماهیت آب‌گریزی هستند که منجر به کاهش

۴-۲- ساختار شناسی نانوالیاف

شکل ظاهری و ضخامت نانوالیاف تولید شده با استفاده از تصویر برداری الکترونی رویشی (SEM²) انجام شد. ابتدا نانوالیاف توسط مخلوط طلا و پالادیوم به ضخامت ۲۰nm پوشش داده شده و سپس تحت ولتاژ ۲۰ ev و فاصله کاری ۱۰mm به کمک SEM (مدل LEO 1450 VP، ساخت آلمان) تصویر برداری شد. قطر نانو الیاف به کمک نرم افزار J Image (ایران) تهیه شدند. قدرت این نانو الیاف به کمک نرم افزار J Image (ایران) تهیه شدند.

[۸]

۴-۳- پراش اشعه ایکس (XRD³)

نمونه‌های نانوالیاف تهیه شده با استفاده از دستگاه اشعه ایکس (Panalytical، لهستان) با طول موج A ۱/۵۴ و تحت زاویه ۴۵° - ۵° بررسی شدند [۷].

۴-۴- ویژگی‌های مکانیکی

رفتار مکانیکی نانوالیاف با استفاده از دستگاه آنالیز بافت (مدل RS-232 LLOYD، آمتک، انگلستان) مورد مطالعه قرار گرفت. ضخامت نمونه‌ها (mm ۱۰ × ۶۰) در ۱۰ نمایه اندازه-گیری و به منظور یکسانسازی رطوبت، قطعات نانو الیاف به مدت h ۲۴ در داخل دسیکاتور با رطوبت نسبی ۷۵٪ (حاوی محلول اشباع کلرید سدیم) قرار داده شدند. سپس نمونه‌ها در داخل فک‌های دستگاه با فاصله mm ۵۰، سرعت سر ۶ mm/min و لودسل N ۵۰ قرار داده شدند. آزمون در ۳ تکرار انجام شد [۸].

۴-۵- راندمان ریزپوشانی

راندمان ریزپوشینه و محتویات انسانی اسطوخودوس در نانوالیاف مطابق روش توسلی و همکاران (۲۰۱۸) با کمی تغییرات ارزیابی شد [۱۲]. ابتدا انسانی آزاد روی سطح نانوالیاف، به کمک حلال اتانول حذف گردید. سپس مقدار ۵۰mg نانوالیاف در mL ۵ اتانول حل و جذب به کمک دستگاه اسپیکتروفوتومتر (Gold Spectrumlab 54، آمریکا) در طول موج nm ۲۷۵ تعیین گردید. غلظت انسانی با استفاده از منحنی کالیبراسیون (R2 = 0.99) اندازه-گیری و راندمان

Bacillus Staphylococcus aureus A9596 (S. aureus) ATCC (E. coli) cereus ATCC 9634 (B. cereus) Salmonella typhimurium و Escherichia coli 25922 ATCC 14028 (S. typhimurium) از گروه علوم و صنایع غذایی، دانشکده کشاورزی، دانشگاه زابل، زابل، ایران، تمامی محیط‌های کشت از برندهای سیگما آلدريچ (ساخت ایالات متحده آمریکا) و انسانی اسطوخودوس از شرکت رایجه سلامت (ایران) تهیه شدند.

۴-۶- شناسایی ترکیبات انسانی با استفاده از GC-MS¹

ترکیبات انسانی اسطوخودوس با استفاده از دستگاه کروماتوگرافی گازی (Agilent 7890A - آمریکا) متصل به ردیاب جرمی (Agilent 5975C)، مجهز به ستون (Agilent 5975C) μ ۲۵۰m \times ۳۰ m HP-5MS تعیین گردید. گاز هلیوم (۹۹/۹۹ درصد خلوص) به عنوان حامل با سرعت ۰/۹ ml/min - ۱/۱ به ستون با دمای متغیر ۴۰ تا ۲۸۰°C تزریق شد. دمای انژکتور و آشکارساز به ترتیب ۲۸۰ و ۲۵۰°C تنظیم گردیدند. انرژی یونیزاسیون طیف‌سنج جرمی ۷۰ev بود و ترکیبات انسانی با استفاده از کتابخانه طیف NIST^{۰۸} (موسسه ملی استاندارد و فناوری، MD، Gaithersburg، ایالات متحده آمریکا) شناسایی شدند [۱۱].

۴-۷- تهیه نانوالیاف به روش الکتروزیسی

جهت تولید نانوالیاف الکتروزیسی شده ژلاتین (GNF)، محلول ژلاتین به نسبت w/w ۱۵٪ در اسید استیک گلاسیال (۴٪) تحت دمای ۴۰°C به مدت ۳۰ min تهیه شد. بر اساس آزمایشات اولیه، انسانی اسطوخودوس در غلظت‌های صفر، ۰/۵٪ و ۰/۱٪ جایگزین محلول اسید استیک گردید. هدایت الکتریکی محلول نانو الیاف با استفاده از هدایت‌سنج دیجیتالی (مدل ۱۰۳، تایوان) اندازه-گیری و تحت ولتاژ ۱۵Kv، سرعت جریان ۰/۴ mL/h، فاصله mm ۱۷۰ نوک سوزن تا کلکتور، الکتروزیسی گردید. به منظور حذف حلال باقیمانده الیاف تولید شده به مدت h ۲۴ در داخل دسیکاتور نگهداری شدند [۵].

2 -Scanning electron microscope

3 -X-ray diffraction

1-Gas chromatography-mass spectrometry

10^7-10^5 (۰/۵ مک فارلن) متقل شدند. پلیت‌ها در دمای $^{\circ}\text{C}$ ۳۷ به مدت h ۲۴ گرمخانه‌گذاری و فعالیت ضدبacterیایی براساس قطر ناحیه بازدارنده (بر حسب mm) ارزیابی گردید.

۲-۹- تجزیه و تحلیل آماری

تحزیه و تحلیل آماری داده‌های با استفاده از آنالیز واریانس (ANOVA) یک طرفه و مقایسه میانگین‌ها به کمک آزمون توکی انجام شد. بدین منظور از نرم افزار SAS نسخه ۹/۱ (آمریکا) در سطح اطمینان ۹۵ درصد استفاده گردید. تمام آزمایشات در سه تکرار اجرا و نتایج بصورت میانگین \pm انحراف استاندارد بیان شدند.

۳- نتایج و بحث

۳-۱- آزمون GC-MS

نتایج حاصل از آنالیز GC-MS اسانس اسطوخودوس در جدول ۱ آورده شده است. در مجموع ۲۷ ترکیب شیمیایی مختلف با سهم ۹۷/۸۳٪ از کل اجزاء اسانس شناسایی گردید.

انکپسولاسیون و محتویات روغن با استفاده از فرمول‌های ذیل محاسبه شدند:

$$\text{وزن اسانس اولیه} / \text{وزن اسانس در نانوالیاف}) = \text{راندمان} \times 100$$

$$\text{وزن اسانس نانوالیاف قبل از شستشو با اتانول} / \text{وزن اسانس} \times 100 \times (\text{در نانوالیاف}) = \text{محتویات روغن} (%)$$

۲-۸- فعالیت ضدبacterیایی نانوالیاف به روش انتشار دیسک

فعالیت ضدبacterیایی نانوالیاف تهیه شده به روش انتشار دیسک مطابق روش قاسمی و همکاران (۲۰۲۲) در برابر دو سویه گرم مثبت (*S. aureus* و *B. cereus*) و دو سویه گرم منفی (*S. typhimurium* و *E. coli*) انجام شد [۸]. ابتدا جهت حذف آلدگی‌های میکروبی احتمالی، دیسک‌های نانو الیاف (قطر ۸mm) به مدت ۱ ساعت تحت تابش نور UV (۲۵۴ nm = λ) قرار گرفتند. سپس بر سطح محیط کشت آگار CFU/mL مغذی تلقیح شده با $100 \mu\text{L}$ باکتری هدف حاوی

Table 1 Chemical composition of LEO using GC-MS chromatography

No	Compounds	RT (min)	Area (%)
1	α -Thujene	9.84	0.29
2	α -Pinene	9.98	0.50
3	β -Pinene	11.66	0.22
4	3-Octanone	11.93	0.51
5	β -Myrcene	11.93	0.68
6	n-Hexyl acetate	12.53	0.73
7	D-Limonene	13.09	0.62
8	Eucalyptol	13.17	0.85
9	α -trans-Ocimene	13.28	4.73
10	β -trans-Ocimene	13.41	0.72
11	1,6-Octadien-3-ol, 3,7-dimethyl	13.49	1.62
12	cis-Ocimene	13.57	2.02
13	Linalool	15.15	35.21
14	Norbonan	15.68	0.96
15	Camphor	15.82	0.72
16	β -Myrcene	16.63	0.85
17	Borneol	16.94	1.23
18	lavandulol	17.43	1.05

19	α -Terpineol	18.01	1.83
20	Linalyl acetate	19.30	26.47
21	Nerol	20.11	3.94
22	Geranyl acetate	22.64	0.86
23	Santalol	23.75	0.59
24	Trans- β - Caryophyllene	23.92	5.39
25	β - Farnesene	24.52	4.83
26	Germacrene-D	25.45	0.64
27	Caryophyllene oxide	28.04	0.77
Total			98.83

۳-۲- ساختار و قطر و نانوالياف ژلاتین

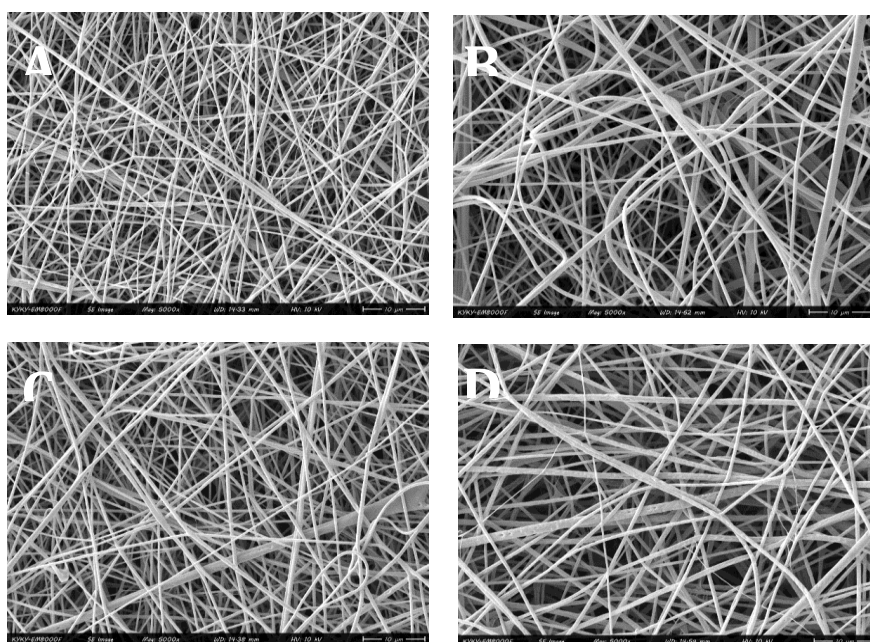


Fig 1 SEM images of the nanofiber with different LEO concentrations

(A: 0%; B: 2.5% ; C: 5% ; and D: 10%).

تصاویر میکروسکوپ الکترونی نانوالياف حاوی غلظت‌های مختلف اسانس اسطوخودوس در شکل (A-C) آورده شده است.

تصاویر نشان می‌دهند تمامی نانوالياف بدون گویچه و دارای ساختار یکنواخت و پیوسته هستند، که نشان دهنده عدم تاثیرگذاری اسانس بر شکل نانوالياف است.

دو ترکیب شیمیایی لینالول (۳۵/۲۱٪) و لینالیل استات (۲۶/۴۷٪) سهمی بیش از ۶۰٪ ترکیبات را بخود اختصاص دادند. تحقیقات مشابه نشان داده، لینالول و لینالیل استات ترکیبات اصلی اسانس اسطوخودوس هستند هر چند در نوع و مقدار برخی ترکیبات با یکدیگر تفاوت‌هایی نشان دادند [۱۳، ۱۴]. اختلاف در ترکیبات شیمیایی اسانس‌های یک گیاه را می‌توان به عوامل مختلفی مانند نژاد، بخش گیاه مورد استفاده، شرایط آب و هوایی، منطقه جغرافیایی، شرایط کشت و برداشت، نیز روش استخراج و نگهداری اسانس اشاره نمود [۹، ۱۱، ۱۵]

Table 2. Electrical conductivity (EC) of LEO loaded gelatin solutions and average diameter of nanofibers.

Nanofiber	EC ($\mu\text{S}/\text{cm}$)	Average diameter (nm)
Gelatin+ LEO (0.0 %)	$43.4 \pm 0.3^{\text{A}}$	$431.5 \pm 15.2^{\text{A}}$
Gelatin+ LEO (2.5 %)	$36.6 \pm 0.1^{\text{B}}$	$477.4 \pm 14.3^{\text{A}}$
Gelatin+ LEO (5 %)	$34.9 \pm 0.6^{\text{C}}$	$528.6 \pm 12.7^{\text{A}}$
Gelatin+ LEO (10 %)	$30.7 \pm 0.2^{\text{D}}$	$705.3 \pm 18.6^{\text{A}}$

The values are the means \pm SD, (n=3). Means followed by different uppercase indicate significant differences in column ($P < 0.05$).

ساختار بلوری اجزاء نانوالیاف ژلاتین (شکل ۲) به کمک آزمون XRD بررسی گردید. مقایسه نمودارهای بدست آمده، شباهت رفتاری یکسانی را نشان می‌دهد. تمامی نمودارها در ناحیه $2\theta = 28-13^{\circ}$ برجستگی مهمی را نشان می‌دهند که مربوط به ساختار کریستالی مارپیچ سه‌گانه ماکرومولکول ژلاتین است [۷]. افزودن انسانس باعث افزایش اندازه ناحیه مارپیچ سه‌گانه گردید، که احتمالاً به دلیل تغییر ساختار مارپیچ سه‌گانه تحت تاثیر انسانس اسطوخودوس بوده که می‌تواند بر خواص مکانیکی نانوالیاف نیز موثر باشد. گزارش مشابهی از افزودن انسانس نخنا بر نانوالیاف ژلاتین در دسترس است [۱۶]. در گزارشی دیگر بیان شده است که افزودن کورکومین به نانو الیاف ژلاتین/کیتوزان بر ساختار نانو الیاف بی‌تأثیر بود [۷]. این اختلاف در نتایج، احتمالاً ناشی از تفاوت در خواص شیمیایی زیست بسیار و عامل فعال بوده است [۱۷، ۸].

جدول ۲ نشان دهنده نتایج حاصل از ارزیابی ضخامت نانوالیاف و هدایت الکتریکی محلول الکتروریسی است. با افزایش غلظت اساس از صفر به ۱۰٪، قطر نانوالیاف از ۴۳۱/۵ nm به ۷۰۵/۳ nm افزایش یافت که می‌تواند ناشی از کاهش هدایت الکتریکی محلول الکتروریسی از ۴۳/۴ $\mu\text{S}/\text{cm}$ به ۳۰/۷ باشد. به طورکلی، کاهش هدایت الکتریکی محلول باعث کاهش توزیع بار الکتریکی در ناحیه جت دستگاه می‌گردد که در نتیجه، مقدار نیروهای کششی واردہ بر نانوالیاف گزارشاتی مشابه با افزایش غلظت انسانس گلپر [۵] و پرتغال [۱۲] ضخامت نانوالیاف الکتروریسی شده ژلاتین افزایش یافت.

۳-۳- نتایج XRD

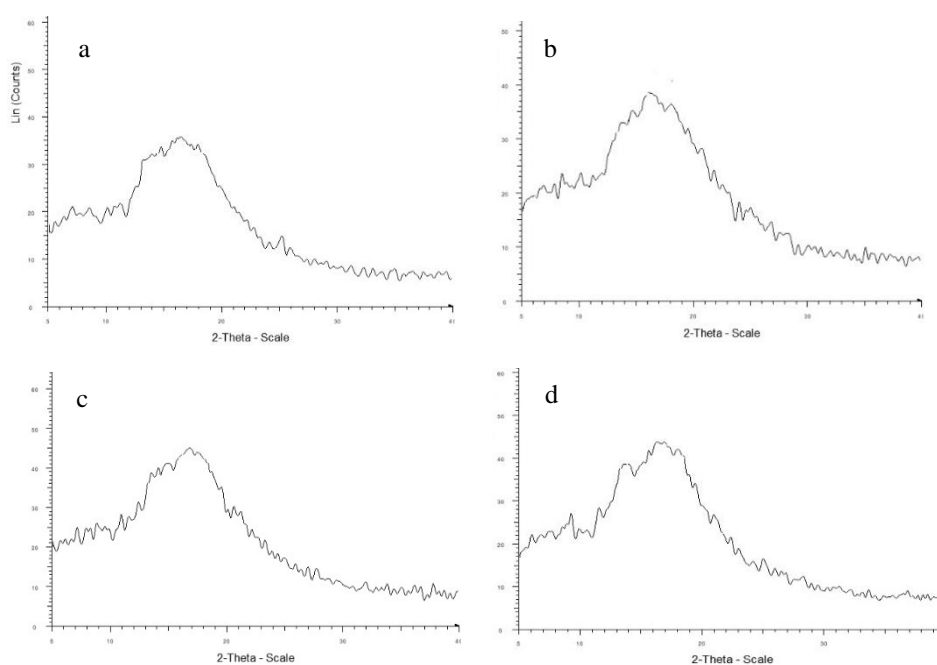


Fig 2: XRD diffractograms of different GNFs, **a:** Gelatin+ LEO (0 %), **b:** Gelatin+ LEO (2.5 %), **c:** Gelatin+ LEO (5 %), **d:** Gelatin+ LEO (10 %).

مقاومت کششی و مدول یانگ در مقایسه با نمونه فاقد اسانس گردید ($p<0.05$). اسانس‌ها تا حدودی دارای خاصیت نرم کنندگی پلیمرهای زیستی هستند که این نقش را با قرارگیری در حد فاصل ماکروملکولهای ساختمان پلیمر اعمال می‌کنند [۱۶]. با این وجود گزارش شده شدت تاثیرگذاری تابع نوع، غلظت اسانس و درجه برهمکنش اجزا افزوده شده به پلیمر زیستی است [۱۶، ۸، ۱۸].

۴-۳- ویژگی‌های مکانیکی نانوالیاف‌های ژلاتین
از فاکتورهای مهم انتخاب لفاف بسته‌بندی مواد غذایی، خواص مکانیکی آن است. ارزیابی شاخص‌های مکانیکی نانوالیاف‌های تهیه شده در جدول ۳ آورده شده است. بیشترین مقادیر سختی ($۳۱۲۳۰/۴$ N/m) و مدول یانگ ($۴۶۰/۰$ Mpa) ثبت (توسط نانوالیاف فاقد اسانس (Gelatin+ LEO (0%)) نشان می‌شود ($p<0.05$). افزودن اسانس باعث کاهش معنادار مقادیر

Table 3. Mechanical characteristics of nanofibers containing different concentration of LEO

Nanofiber	Stiffness (N/m)	Tensile Strength (MPa)	Modulus (Mpa)
Gelatin+ LEO (0 %)	31230.4 ± 12.7^A	0.11 ± 0.04^C	462.0 ± 8.1^A
Gelatin+ LEO (2.5 %)	954.6 ± 18.3^D	0.17 ± 0.03^{BC}	14.8 ± 6.8^C
Gelatin+ LEO (5 %)	2694.3 ± 23.5^C	0.20 ± 0.05^{AB}	35.3 ± 9.5^B
Gelatin+ LEO (10 %)	3979.2 ± 29.6^B	0.25 ± 0.05^A	37.2 ± 5.3^B

The values are the means \pm SD, ($n=3$). Means followed by different uppercase indicate significant differences in column ($P < 0.05$).

($p<0.05$). نتایج مقادیر مقاومت کششی (جدول ۲) نشان می‌دهند افزایش غلظت اسانس از 0% به 10% روند افزایشی آرامی (0.11 ± 0.04 MPa) را موجب گردید، بطوری‌که بیشترین مقادیر در نمونه‌های Gelatin+ LEO (5 %) و Gelatin+ LEO (10 %)

با افزایش غلظت اسانس محلول الکتریسی از $2/5$ تا $10/10$ روند افزایشی در مقادیر سختی ($3979/2$ N/m – $954/6$) و مدول یانگ ($37/2$ MPa) ($14/8$ – $37/2$) نانوالیاف مشاهده گردید

کترل رشد میکروب‌های مولد فساد نقش کلیدی در کاربرد غذایی نانوالیاف دارد. نتایج حاصل از ارزیابی فعالیت ضدبacterیایی نانوالیاف ژلاتین حاوی اسانس اسطوخودوس در *S. aureus*, *B. cereus* و *E. coli* در جدول ۵ آورده شده است. نمونه (۰ %) Gelatin+ LEO اثر ضدبacterیایی نشان نداد در حالیکه با افزایش غلظت اسانس در نانوالیاف ژلاتین از ۲/۵ به ۱۰٪ خاصیت ضدبacterیایی تقویت گردید. در مجموع نانوالیاف حاوی اسانس اسطوخودوس اثر مهارکنندگی بهتری بر باکتری‌های گرم مثبت (*S. aureus* و *B. cereus*) در مقایسه با گرم منفی (*E. coli* و *S. typhimurium*) نشان دادند. بیشترین اثر ضدبacterیایی (۲۱/۲۲-۴/۲ mm) توسط نمونه *B. cereus* در برابر باکتری‌های *S. aureus* و *B. cereus* (10 %) Gelatin+ LEO ثبت گردید. گزارش شده فعالیت ضدبacterیایی اسانس اسطوخودوس به محتوای بالای لینالول و لینالیل استات نسبت داده می‌شود [۲۱، ۸].

Table 5- Encapsulation efficiency and Inhibition zone values (mm) of gelatin nanofibers against target bacteria

Nano fiber	Inhibition zone (mm)			
	<i>S. aureus</i>	<i>B. cereus</i>	<i>E. coli</i>	<i>S. typhimurium</i>
	-	-	-	-
Gelati n+ LEO (0 %)	-	-	-	-
Gelati n+ LEO (2.5 %)	1 2.9 ± 0.7 C,c	1 2.6 ± 0.4 C,c	1 1.8 ± 0.6 C,c	12.2 ± 0.3 C,c
Gelati n+ LEO (5 %)	1 7.6 ± 0.6 B,b	1 7.2 ± 0.8 B,b	1 6.7 ± 0.4 B,b	16.9 ± 0.5 B,b
Gelati n+ LEO (10 %)	2 2.2 ± 0.4 A,a	2 1.4 ± 0.6 A,ab	2 0.6 ± 0.5 A,b	20.9 ± 0.4 A,ab

The values are the means ± SD, (n=3). Means followed by different uppercase and lowercase letters indicate significant differences in column and row, respectively (P < 0.05).

(%) ۱۰) بدست آمد (p<0.05). این پدیده احتمالاً از برهمکنش محدود اجزاء اسانس با ساختار پروتئینی بوده که باعث تغییر آرایش زنجیره‌های زیست بسپار و بهبود مقاومت کششی گردیده است [۱۶، ۱۹]. گزارشات مشابهی از روند تغییرات خواص مکانیکی لفاف ژلاتین در دسترس است [۱۶، ۱۸، ۲۰].

۳-۵- راندمان ریزپوشانی و محتوای اسانس نانوالیاف

راندمان ریزپوشانی و محتوای اسانس نانوالیاف، از پارامترهای مهم ارزیابی فعالیت ضدمیکروبی هستند [۸]. جدول ۴ نتایج حاصل از اندازه‌گیری راندمان و محتوای اسانس نانوالیاف تهیه شده را نشان می‌دهد. بیشترین (۹۹/۱٪) و کمترین مقدار Gelatin+ (۸۷/۴٪) راندمان ریزپوشانی به ترتیب در نمونه‌های Gelatin+ LEO (2.5 %) و Gelatin+ LEO (10 %) مشاهده شد. با افزایش درصد اسانس محلول الکتروریسی، محتوای اسانس نانوالیاف نیز روند افزایشی معناداری را نشان داد (p<0.05)، بطوری که بیشترین مقدار (۹۴/۶٪) در نمونه Gelatin+ LEO (10 %) ثبت شد (p<0.05). Pilicheva و همکاران [۱۷] راندمان ریزپوشانی اسانس اسطوخودوس در مالتودکسترن را حدود ۹۱٪ گزارش نمودند. در گزارشی دیگر راندمان ریزپوشانی و محتویات اسانس پرتوگال در زیست بسپار ژلاتین به ترتیب حدود ۶۹ و ۲۶٪ گزارش گردید [۱۲]. این نتایج نشان می‌دهند الکتروریسی پروتئین ژلاتین کارایی مناسبی جهت ریزپوشانی اسانس اسطوخودوس دارد.

Table 4. The encapsulation efficiencies (EE) and LEO contents (LC) of gelatin nanofibers.

Nanofiber	EE (%)	LC (%)
Gelatin+ LEO (2.5 %)	99.1±0. 2 A	4.7 ± 0.1 C
Gelatin+ LEO (5 %)	96.9±0. 2 B	8.9 ± 0.2 B
Gelatin+ LEO (10 %)	87.4±0. 3 C	14.6 ± 0.2 A

The values are the means ± SD, (n=3). Means followed by different uppercase indicate significant differences in column (P < 0.05).

۳-۶- فعالیت ضدبacterیایی

ژلاتین بارگذاری شد. مهمترین اجزاء شیمیایی انسانس اسطوخودوس لینالول و لینالیل استات بود. به لحاظ ساختارشناختی تمامی نانوالیاف ساخته شده دارای بافت یکنواخت و فاقد گویجه بودند. همچنین افروزن انسانس تغییر مهمی در ساختار آموروف نانوالیاف ایجاد نکرد که با آزمون پراش اشعه ایکس تایید شد. با افزایش غلظت انسانس در محلول الکتروریسمی مقادیر ضخامت و محتویات انسانس نانوالیاف افزایش یافت. نمونه‌های حاوی انسانس اسطوخودوس سختی کمتری در مقایسه با نمونه فاقد انسانس ثبت نمودند. نتایج آزمون ضدبacterیایی نشان داد که نانوالیاف حاوی انسانس اسطوخودوس دارای فعالیت ضدبacterیایی در برابر باکتری‌های گرم مثبت و گرم منفی هستند. با توجه به نتایج تحقیق حاضر می‌توان بیان داشت احتمالاً نانوالیاف الکتروریسمی حاوی انسانس اسطوخودوس را بتوان به عنوان یک بسته بندی فعال برای مواد غذایی چون پنیر، گوشت و برخی محصولات غذایی دیگر در نظر گرفت. بدیهی است نتیجه گیری نهایی نیازمند بررسی‌های دقیق بالینی و در محیط‌های واقعی است.

۵- سپاسگزاری

این پژوهش با بهره‌گیری از گرنت شماره UOZ-GR-9955 اجرا گردیده است. نویسنده‌گان مقاله مراتب سپاسگزاری خود را از آزمایشگاه علوم و صنایع غذایی دانشگاه زابل اعلام می‌دارند.

ترکیبات ترپنی و فنیک انسانس‌ها به دلیل خاصیت آب‌گریزی می‌توانند از دیواره سلولی باکتری‌ها عبور نموده و وارد سلول شوند. وجود ترکیبات لیپوپلی‌ساقاریدی در غشاء خارجی باکتری‌های گرم منفی، تا حدودی مانع ورود این ترکیبات می‌شود که نتیجه آن افزایش مقاومت سلول در برابر عوامل ضدبacterیایی است. با این حال ترکیبات کوچک ملکول و آب دوست از کانال‌های پورین عبور نموده و با اختلال در فعالیت‌های درون سلولی باعث مرگ سلولی می‌شوند [۱۵]. همچنین ترکیبات موجود در انسانس‌ها با تخرب نظم ملکولی غشاء سیتوپلاسمی باعث افزایش نفوذپذیری می‌گردد که نتیجه آن تخلیه یونی و ATP، اختلال در فعالیت غشای سیتوپلاسمی و سترز DNA است. هرچند می‌بایست به نوع، غلظت و بر همکنش ترکیبات انسانس با اجزاء محیطی نیز توجه داشت [۲۲]. تاکنون اثر ضدبacterیایی نانوالیاف ژلاتین حاوی انسانس اسطوخودوس گزارش نشده است. حاجیالی و همکاران (۲۰۱۶) اثر ضدبacterیایی نانوالیاف آژینات حاوی انسانس اسطوخودوس را در برابر *S. aureus* گزارش نمودند [۲۳]. در تحقیقی دیگر اثرات ضدبacterیایی نانوامولسیون انسانس اسطوخودوس در برابر برخی باکتری‌های گرم منفی و گرم مثبت منتشر شده است [۲۴]. این گزارشات با نتایج بدست آمده در این پژوهش هم راستا هستند.

۴- نتیجه گیری

در این پژوهش برای نخستین بار انسانس اسطوخودوس (در غلظت‌های صفر تا ۱۰٪) به روش الکتروریسمی در نانوالیاف

۶- منابع

- [1]World Health Organization [WHO]. 2022. Estimating the burden of foodborne diseases. Available from: <https://www.who.int/activities/estimating-the-burden-of-foodborne-diseases>.
- [2]Rapp, J. H. D., Dhawan, S., Gupta, S. K., Gupta, T. B, and Brightwell G. 2023. Molecular detection and characterization of foodborne bacteria: Recent progresses and remaining challenges. Compr. Rev. Food Sci. Food Saf. 22, 1463-2487.
- [3] Serwecińska, L. 2020. Antimicrobials and Antibiotic-Resistant Bacteria: A Risk to the Environment and to Public Health, Water, 12, 3313.
- [4] Batiha, G. E., Teibo, J. O., Wasef, L., Shaheen, H. M., Akomolafe, A. P., Teibo, T. K. A., and et al. 2023. A review of the bioactive components and pharmacological properties of *Lavandula* species, Naunyn-Schmiedeberg's Arch Pharmacol, 396, 877–900.
- [5] Zhou, Y., Miao, X., Lan, X., Luo, J., Luo, T., Zhong, Z., et al. 2020. Angelica essential oil loaded electrospun gelatin nanofibers for active food packaging application, Polymers (Basel), 12: 1-12.
- [6] Kwiatkowski, P., Lopusiewicz, L., Kostek, M., Drozłowska, E., Pruss, A., Wojciuk, B., et al. 2019. The Antibacterial Activity of Lavender Essential Oil Alone and In Combination with *Octenidine Dihydrochloride* against MRSA Strains, Molecules. 25, 1-15.
- [7] Mengxia, D., Sun, J., Huang, Y., Jiang, H., Hu, Y., Pang, J., and et al. 2023. Electrospun gelatin/chitosan nanofibers containing curcumin for multifunctional

- food packaging, *Food Science and Human Wellness*, 12, 614-621.
- [8]Ghasemi, M., Miri, M. A., Najafi, M. A., Tavakoli, M., and Hadadi, T. 2022. Encapsulation of Cumin essential oil in zein electrospun fibers: Characterization and antibacterial effect, *Food Measure*, 16, 1613–1624.
- [9]Mahmood, K., Kamilah, H., Karim, A. A., and Ariffin, F. 2023. Enhancing the functional properties of fish gelatin mats by dual encapsulation of essential oils in β -cyclodextrins/fish gelatin matrix via coaxial electrospinning, *Food Hydrocolloids*, 137, 108324.
- [10]Li, S., Shi, W., Wang, X., Li, S., Pei, X., and Yifan, He. 2023. Electrospinning of gelatin nanofibers containing sesamol nanoparticles, *The Journal of the textile Institute*. DOI: 10.1080/00405000.2023.2202113
- [11]Dong, G., Bai, X., Aimila, A., Aisa, H. A., and Maiwulanjiang, M. 2020. Study on lavender essential oil chemical compositions by GC-MS and improved pGC. *Molecules*, 25, 1-30.
- [12]Kafrani, T., E., Goli, S. A. H., and Fathi, M. 2018. Encapsulation of orange essential oil Using cross-linked electrospun gelatin nanofibers, *Food Bioprocess Technol.*, 11, 427–434.
- [13]Todorova, D., Yavorov, N., Lasheva, V., Damyanova, S., and Kostova, I. 2023. Lavender essential oil as antibacterial Treatment for packaging paper, *Coating*, 13, 1-12.
- [14]Pokajewicz, K., Bialo, M., Svydenko, L., Fedin, R., and Hudz, N. 2021. Chemical composition of the essential oil of the new cultivars of *Lavandula angustifolia* Mill, Bred in Ukraine., *Molecules*, 26: 1-20.
- [15]Fokou, B. H. J., Dongmo, M. J. P., and Boyom, F. F. 2022. Essential Oil's chemical composition and pharmacological properties, 10.5772/intechopen.86573.
- [16]Bhatia, S., Al-Harrasi, A., Jawad, M., Shah, Y. A., Al-Azri, M. S., Ullah, S., and et al. 2023. A comparative study of the properties of gelatin (porcine and bovine)-based edible films loaded with spearmint essential oil, *Biomimetics*, 8, 1-16.
- [17]Pilicheva, B., Uzunova, Y., and Katsarov, P. 2021. Comparative study on microencapsulation of lavender (*Lavandula angustifolia* Mill.) and peppermint (*Mentha piperita* L.) essential oils via spray-drying technique, *Molecules* 26, 7467.
- [18]Rasul, N. H., Asdaghi, A., Pirsa, S., Ghazanfarirad, N., and Sani, I. K. 2022. Development of antimicrobial /antioxidant nanocomposite film based on fish skin gelatin and chickpea protein isolated containing Microencapsulated *Nigella sativa* essential oil and copper sulfide nanoparticles for extending minced meat shelf life. *Mater. Res. Express*, 9, 025306.
- [19]Kadam, D., Shah, N., Palamthodi, S., and Lele, S. S. 2018. An investigation on the effect of polyphenolic extracts of *Nigella sativa* seedcake on physicochemical properties of chitosan-based films, *Carbohydrate Polym*, 192, 347–55.
- [20]Scartazzini, L., Tosati, J. V., Cortez, D. H. C., Rossi, M. J., Flores, S. H., Hubinger, M. D., et al. 2019. Gelatin edible coatings with mint essential oil (*Mentha arvensis*): film characterization and antifungal properties, *J. Food. Sci. Technol.*, 56, 4045-4056.
- [21]Walasek-Janusz, M., Grzegorczyk, A., Zalewski, D., Malm, A., Gajcy, S., and Gruszeck, R. 2022. Variation in the Antimicrobial Activity of Essential Oils from Cultivars of *Lavandula angustifolia* and *L. × intermedia*, *Agron*. 12, 1-13.
- [22]Amor, G., Sabbah, M., Caputo, L., Idbella, M., De Feo, V., Raffaele, P., and et al. 2021. Basil essential oil: composition, antimicrobial properties, and microencapsulation to produce active chitosan films for food packaging, *Foods*. 10, 1- 16.
- [23]Hajiali, H., Summa, M., Russo, D., Armirotti, A., Brunetti, V., Bertorelli, R., et al. 2016. Alginate-lavender nanofibers with antibacterial and anti-inflammatory activity to effectively promote burn healing, *J. Mater. Chem. B*, 4: 1686-1695.
- [24]Badr, M. M., Badawy, M. E. I., and Taktak, N. E. M. 2021. Characterization, antimicrobial activity, and antioxidant activity of the nanoemulsions of *Lavandula spica* essential oil and its main monoterpenes, 65, 102732.



Scientific Research

Evaluation of antimicrobial activity and properties of gelatin nanofibers containing lavender essential oil

Ehsan Sadeghi Hamzehkhanii¹, Mohammad Ali Najafi², Mohammad Amin Miri³, Sara Najafi Ghaghelestani⁴

1- MS Graduate Student, Department of Food Science and Technology, Zabol University, Zabol, Iran.

2- Corresponding author: Associate Professor, Department of Food Science and Technology, Zabol University, Zabol, Iran.

3- Assistant Professor, Department of Food Science and Technology, Zabol University, Zabol, Iran.

4- PhD Graduate Student, Department of Agronomy and Plant Breeding, Faculty of Agriculture, Zabol University, Zabol, Iran.

ARTICLE INFO

ABSTRACT

Article History:

Received: 2023/6/24

Accepted: 2023/10/19

Keywords:

essential oil,
electrospun fibers,
polymer,
antibacterial activity
.

DOI: [10.22034/FSCT.21.146.82](https://doi.org/10.22034/FSCT.21.146.82)

*Corresponding Author E-Mail:
m.najafi413@uoz.ac.ir

Lavender essential oil has herbal uses in cosmetic, food and pharmaceutical industries. In this research, for the first time, the encapsulation of lavender essential oil by gelatin biopolymer was done by electrospinning method. At first, the chemical compounds of lavender essential oil were identified with the help of gas chromatography associated with a mass spectrometer (GC-MS) and then 0, 2.5, 0.5 and 0.10% v/v were added to the electrospinning solution. The prepared nanofibers have been evaluated using scanning electron imaging (SEM), thickness determination (Image J), X-ray diffraction, mechanical properties, and essential oil loading efficiency. Also, the antibacterial activity of nanofibers against *Staphylococcus aureus*, *Bacillus cereus*, *Escherichia coli* and *Salmonella typhimurium* were investigated by disk diffusion method. The most important components of lavender essential oil were linalool (35.21%) and linalyl acetate (26.47%). All nanofibers had a uniform and continuous shape. By increasing the concentration of essential oil in the electrospinning solution, the values of thickness (431.5 - 705.3 nm) and essential oil content (4.7-14.6%) increased. Lavender essential oil had no effect on crystallinity of nanofibers, but caused a significant decrease in Young's modulus and stiffness. The nanofiber sample containing 10% lavender essential oil recorded the highest hardness, Young's modulus and elasticity. Evaluation of antibacterial activities showed that nanofiber samples containing essential oils had appropriate antibacterial activities against all target bacteria. The effectiveness of gelatin nanofiber + lavender essential oil (10%) against *S. aureus* and *B. cereus*. According to the results of the research, it is possible to use gelatin nanofibers containing lavender essential oil for active food packaging. Expressing the definitive result requires conducting clinical and a real environment tests.